

Таким образом, результаты численных исследований показывают, что, как и в плоских прослойках [2, 3], особенностью конвекции в кольцевых пористых прослойках (по сравнению со случаем однородной среды) является более сильная зависимость среднего теплового потока через слой числа Рэлея и геометрии, а также существенно большая неравномерность распределения местных потоков тепла на границах области.

Авторы выражают благодарность В. Л. Мальтеру за предоставленные экспериментальные данные и полезные обсуждения результатов работы.

Поступила 16 XI 1977

ЛИТЕРАТУРА

1. Combarnous M. Convection naturelle et convection mixte dans une couche poreuse horizontale. — «Revue generale de thermique», 1970, vol. 9, N 108, p. 1355—1376.
2. Власюк М. П., Полежаев В. И. Исследование переноса тепла при естественной конвекции в пропицаемых пористых материалах. — В кн.: Тепло- и массообмен. Т.1. Ч.2, Минск, изд. Ин-та тепло- и массообмена АН БССР, 1972.
3. Власюк М. П., Полежаев В. И. Естественная конвекция и перенос тепла в пропицаемых пористых материалах. Препринт № 77 ИПМ АН СССР, 1975.
4. Elder Y. W. Steady free thermal convection in a porous medium heated from below. — «J. Fluid. Mech.» 1976, vol. 27, pt 1, p. 29—48.
5. Мальтер В. Л., Антропова З. М., Петрова Л. В., Костенок О. М. Теплообмен в электрических печах сопротивления с высоким давлением газа. — В кн.: Исследования в области промышленного электронагрева. Вып. 4. М., «Энергия», 1970.
6. Мальтер В. Л., Морозов В. П., Пушкин А. Л., Костенок О. М. Расчет конвективного теплопереноса в футеровках печей с использованием коэффициента газопроницаемости. — В кн.: Электротехническая промышленность. Вып. 7 (143). М., Информэлектро, 1974.
7. Петражицкий Г. В., Бекнева Е. В., Брайловская В. А., Станкевич Н. М. Численное исследование течения и теплообмена при движении вязкого теплопроводного сжимаемого газа в горизонтальном кольцевом канале под действием массовых сил. — В кн.: Труды второй республиканской конференции по аэрогидромеханике, теплообмену, массообмену. Киев, изд. Киевск. ун-та, 1971.
8. Брайловская В. А., Петражицкий Г. В. Тепловая ламинарная конвекция жидкости в кольцевой области при заданном потоке тепла. — ПМТФ, 1977, № 3.
9. Horton C. W., Rogers F. T. Convection currents in a porous medium. — «J. Appl. Phys.», 1945, vol. 16, p. 367—370.
10. Березин И. С., Жидков П. П. Методы вычислений. М., «Наука», 1966.

УДК 536.42+536.421+518.517

АНАЛИТИЧЕСКОЕ ОПИСАНИЕ КРИСТАЛЛИЗАЦИИ БИНАРНЫХ СПЛАВОВ

T. A. Черепанова

(Riga)

В работах [1, 2] разработан подход для аналитического описания кристаллизации бинарных систем. При этом диффузионные процессы у межфазной границы предполагались протекающими столь интенсивно, что концентрация в расплаве не зависела от локальной конфигурации границы раздела. Такое приближение физически обосновано, если процесс кристаллизации лимитируется его кинетической стадией. В случае, когда характерная скорость диф-

фузионного переноса вещества в концентрационном пограничном слое меньше максимально возможной скорости роста при заданных значениях температуры и концентрации компонент в ядре расплава, следует говорить о диффузионном режиме процесса кристаллизации. Скорость роста и структурные характеристики межфазной зоны определяются при этом диффузионным массопереносом к границе раздела, величиной концентрационного градиента, развивающегося вблизи нее.

Цель данной работы — аналитическое описание кристаллизации бинарных сплавов с учетом диффузии в расплаве. Из микроскопического рассмотрения кинетики элементарных процессов получена система конечно-разностных уравнений для диффузионного пограничного слоя вблизи поверхности растущей грани кристалла.

Рассмотрим решеточную модель системы бинарный кристалл — расплав. Предполагается, что атомы α - и β -компонент расположены в узлах решетки и принадлежат либо к жидкой, либо к твердой фазе. В каждом узле решетки находится лишь одна частица, их полное число равно N . Взаимодействие в системе описывается значениями эффективных энергий связи ближайших соседних твердых частиц $\varphi_{11}^{\alpha\alpha}$, $\varphi_{11}^{\alpha\beta}$, $\varphi_{11}^{\beta\beta}$; твердых частиц с жидкими $\varphi_{10}^{\alpha\alpha}$, $\varphi_{10}^{\alpha\beta}$, $\varphi_{10}^{\beta\beta}$, $\varphi_{01}^{\alpha\alpha}$ и жидких частиц $\varphi_{00}^{\alpha\alpha}$, $\varphi_{00}^{\alpha\beta}$, $\varphi_{00}^{\beta\beta}$ (индекс 0 означает принадлежность частицы к жидкой фазе, индекс 1 — к твердой). Как и в [1, 2], конфигурация распределений атомов в системе задается набором параметров $\mathbf{g} = \{\xi_j\}_{j=1}^N$. При этом $\eta_j = 1$, если в j -м узле решетки находится твердая частица, и $\eta_j = 0$, если — жидккая; ξ_j определяет сорт частицы в этом узле ($\xi_j = \alpha, \beta$). Обозначим через $\rho(\mathbf{g}, t)$ вероятность обнаружить систему в момент времени t в состоянии с конфигурацией распределения атомов \mathbf{g} . Временная эволюция функции распределения $\rho(\mathbf{g}, t)$ в нашей модели является результатом совершения элементарных событий переходов жидких частиц в твердое, твердых — в жидкое состояние и диффузионных обменов пар ближайших соседних частиц местами. Характерное время процесса τ выбирается достаточно малым, так что в течение его может произойти не более одного элементарного акта.

Кинетическое уравнение для $\rho(\mathbf{g}, t)$ представим в виде

$$(1) \quad \frac{\partial \rho(\xi_1, \eta_1; \dots \xi_i, \eta_i; \xi_j, \eta_j; \dots \xi_N, \eta_N; t)}{\partial t} = \\ = \sum_{i, \eta_i} W_{\eta_i \eta_i}^{\xi_i} \rho(\xi_1, \eta_1; \dots \xi_i, \eta'_i; \xi_j, \eta_j; \dots \xi_N, \eta_N; t) + \\ + \sum_{i, j \in i} W_{\xi_i \eta_i}^{\xi_j \eta_j} \rho(\xi_1, \eta_1; \dots \xi_j, \eta_j; \xi_i, \eta_i; \dots \xi_N, \eta_N; t) - \\ - \left[\sum_{i, \eta_i} W_{\eta_i \eta_i}^{\xi_i} + \sum_{i, j \in i} W_{\xi_i \eta_i}^{\xi_j \eta_j} \right] \rho(\xi_1, \eta_1; \dots \xi_i, \eta_i; \xi_j, \eta_j; \dots \xi_N, \eta_N; t),$$

где $W_{\eta_i \eta_i}^{\xi_i}$ — частота перехода ξ_i -частицы в i -м узле из фазового состояния η'_i в η_i ; $W_{\xi_i \eta_i}^{\xi_j \eta_j}$ — частота диффузионного обмена местами ξ_i -частицы, находящейся в i -м узле в фазовом состоянии η_i , с частицей сорта ξ_j , находящейся в j -м узле в фазовом состоянии η_j . Суммирование в (1) производится по всем ближайшим к узлу i соседям j ($j \neq i$), по всем узлам i решетки и по их фазовым состояниям η_i . Два первых члена в уравнении (1) описывают вероятность перехода какой-либо конфигурации распределения частиц в системе путем совершения одного элементарного акта в конфигурацию

$g = (\xi_1, \eta_1; \dots; \xi_i, \eta_i; \xi_j, \eta_j; \dots; \xi_N, \eta_N)$, два последних члена — вероятности обратных переходов за характерное время τ .

Условие детального равновесия позволяет выразить отношение частот переходов через равновесные функции распределения. Обозначим через $f(\xi_i, \eta_i; \xi_j, \eta_j)$ вероятность в равновесном состоянии обнаружить систему с конфигурацией g , i -му узлу которой соответствует параметр $\left(\begin{array}{c} \xi_i \\ \eta_i \end{array}\right)$, а j -му узлу ($i \neq j$) — параметр $\left(\begin{array}{c} \xi_j \\ \eta_j \end{array}\right)$. Из уравнения (1) имеем

$$(2) \quad \frac{W_{\eta_i \eta_i}^{\xi_i}}{W_{\eta_i \eta_i}^{\xi_i}} = \frac{f(\xi_i, \eta_i; \xi_j, \eta_j)}{f(\xi_i, \eta_i; \xi_j, \eta_i)}, \quad \frac{W_{\xi_j \eta_i}^{\xi_j \eta_j}}{W_{\xi_j \eta_i}^{\xi_j \eta_j}} = \frac{f(\xi_i, \eta_i; \xi_j, \eta_j)}{f(\xi_j, \eta_j; \xi_i, \eta_i)}.$$

Для определения явного вида зависимостей $W_{\eta_i \eta_i}^{\xi_i}$, $W_{\xi_j \eta_j}^{\xi_j \eta_j}$ от локальной конфигурации распределения частиц учтем, что в равновесии

$$(3) \quad \frac{f(\xi_i, \eta_i; \xi_j, \eta_j)}{f(\xi_i, \eta_i; \xi_i, \eta_j)} = \frac{\exp[-H(\xi_1, \eta_1; \dots; \xi_i, \eta_i; \xi_j, \eta_j; \dots; \xi_N, \eta_N)/kT]}{\exp[-H(\xi_1, \eta_1; \dots; \xi_i, \eta_i; \xi_j, \eta_j; \dots; \xi_N, \eta_N)/kT]},$$

$$\frac{f(\xi_i, \eta_i; \xi_j, \eta_j)}{f(\xi_j, \eta_j; \xi_i, \eta_i)} = \frac{\exp[-H(\xi_1, \eta_1; \dots; \xi_i, \eta_i; \xi_j, \eta_j; \dots; \xi_N, \eta_N)/kT]}{\exp[-H(\xi_1, \eta_1; \dots; \xi_j, \eta_j; \xi_i, \eta_i; \dots; \xi_N, \eta_N)/kT]}.$$

Термодинамический потенциал системы $\Phi(g)$ играет роль гамильтонiana $H(g)$ для поля упорядочения g , $H(g)$ можно представить в виде

$$(4) \quad H(g) = \sum_{v, \eta} N_v^\eta \mu_v^\eta + \sum_v N_{10}^{vv} \omega_{10}^{vv} + \sum_{\eta, \eta'} \bar{N}_{\eta \eta'}^{\alpha \beta} \omega_{\eta \eta'}^{\alpha \beta} + TS,$$

где $\tilde{\mu}_\eta^v$ — химический потенциал чистой v -компоненты, находящейся в фазовом состоянии η ; N_v^η — полное число v — η -частиц; $\bar{N}_{\eta \eta'}^{\alpha \beta}$ — число связей ближайших соседних частиц сорта v и ξ , принадлежащих фазовым состояниям η и η' соответственно; $\omega_{\eta \eta'}^{\alpha \beta}$ — теплоты смешения компонент $\omega_{\eta \eta'}^{\alpha \beta} = \varphi_{\eta \eta'}^{\alpha \beta} - \frac{1}{2}(\varphi_{\eta \eta}^{\alpha \alpha} + \varphi_{\eta' \eta'}^{\beta \beta})$. Последний член в (4) описывает конфигурационную часть энтропии системы. Если не учитывать процессов диффузии в твердой фазе, предполагая, что их характерные времена много больше характерных времен, связанных со скоростью роста и диффузией в жидкой фазе, конфигурационная часть энтропии будет равна энтропии смешения расплава. В одночастичном приближении (условие полного перемешивания)

$$(5) \quad S = N_0^\alpha \ln c_0^\alpha + N_0^\beta \ln c_0^\beta,$$

где $c_0^\alpha = N_0^\alpha / N$ — концентрация α -частиц в расплаве; N — полное число частиц в системе. Химические потенциалы компонент твердой и жидкой фаз определим как среднее по ансамблю изменение гамильтониана в процессе фазового перехода

$$(6) \quad \mu_1^v = \left\langle \left(\frac{\partial H}{\partial N_1^v} \right)_{N_0^\xi, N_1^\xi, N_0^v} \right\rangle,$$

$$\mu_0^\xi = \left\langle \left(\frac{\partial H}{\partial N_0^\xi} \right)_{N_0^\xi, N_1^\xi, N_1^v} \right\rangle \quad (\xi \neq v).$$

С учетом (6)

$$\Delta\mu^v = \mu_0^v - \mu_1^v = \langle H(N_0^\xi, N_1^\xi, N_0^v + 1, N_1^v - 1) - H(N_0^\xi, N_1^\xi, N_0^v, N_1^v) \rangle \quad (\xi \neq v).$$

В случае роста устойчивых кристаллических граней в стационарном режиме $\Delta\mu^v$ имеет смысл разности химических потенциалов объемных фаз, так как среднее изменение поверхностной энергии

$$(7) \quad \langle \Delta H_{\text{surf}} \rangle = \left\langle \Delta \left(\sum_{v, \xi} N_{10}^{v\xi} \omega_{10}^{v\xi} \right) \right\rangle = 0.$$

В результате, используя (4), (6), (7), имеем

$$\Delta\mu^v = \tilde{\Delta\mu}^v + \gamma_0^v \omega_{00}^{\alpha\beta} - \gamma_1^v \omega_{11}^{\alpha\beta} + T \langle (\partial S / \partial N_0^v) - (\partial S / \partial N_1^v) \rangle.$$

Здесь γ_η^v — структурный фактор η -фазы, описывающий степень ее ближнего порядка:

$$\gamma_\eta^v = \left\langle \left(\frac{\partial N_{\eta\eta}^{\alpha\beta}}{\partial N_\eta^v} \right) \right\rangle.$$

В приближении (5) получаем обычное выражение для разностей химических потенциалов:

$$(8) \quad \begin{aligned} \Delta\mu^v &= \tilde{\Delta\mu}^v + l c_0^v \omega_{00}^{\alpha\beta} - \gamma_1^v \omega_{11}^{\alpha\beta} + T \ln c_0^v, \\ \tilde{\Delta\mu}^v &= \frac{\tilde{L}^v}{k \tilde{T}_{eq}^v} \frac{\tilde{T}_{eq}^v - T}{T}, \end{aligned}$$

где \tilde{T}_{eq}^v — температура плавления; $\tilde{L}^v = (l/2)(\varphi_{00}^{vv} - \varphi_{11}^{vv})$ — теплота перехода чистой v -компоненты; l — координационное число. В случае кристаллизации из растворов более удобна другая форма представления уравнения (8):

$$\Delta\mu^v = \Delta\mu_0^v + \Delta\mu_1^v, \quad \Delta\mu_1^v = \omega_{11}^{\alpha\beta} [(\gamma_1^v)_{eq} - \gamma_1^v],$$

согласно которой пересыщение системы (движущая сила процесса кристаллизации $\Delta\mu^v$) равно сумме пересыщения жидкой $\Delta\mu_0^v$ и твердой $\Delta\mu_1^v$ фаз. При этом параметр γ_1^v характеризует степень пересыщения кристалла, связанную с разупорядочением его структуры в процессе роста.

Учитывая (3), (4), вместо уравнений (2) получаем

$$(9) \quad \frac{W_{01}^{\xi_i}}{W_{10}^{\xi_i}} = \exp \left[- \frac{1}{kT} \sum_{v, \eta'} l_{\eta'}^{\xi_i v} (\varphi_{0\eta'}^{\xi_i v} - \varphi_{1\eta'}^{\xi_i v}) + \theta_{\xi_i} \right], \quad \sum_{v, \eta'} l_{\eta'}^{\xi_i v} = l;$$

$$(10) \quad \begin{aligned} \frac{W_{\alpha i 0}^{\beta j 0}}{W_{\beta j 0}^{\alpha i 0}} &= \frac{f(\alpha_i, 0; \beta_j, 0)}{f(\beta_j, 0; \alpha_i, 0)} = \exp \left[\frac{(l - 1 - l_0^{\alpha_i \alpha} - l_0^{\beta_j \beta})(\varphi_{00}^{\alpha \alpha} + \varphi_{00}^{\beta \beta} - 2\varphi_{00}^{\alpha \beta})}{kT} - \right. \\ &\quad \left. - \frac{l_1^{\alpha_i \alpha} (\varphi_{01}^{\alpha \alpha} + \varphi_{00}^{\beta \beta} - \varphi_{01}^{\beta \alpha} - \varphi_{00}^{\alpha \beta})}{kT} - \frac{l_1^{\alpha_i \beta} (\varphi_{01}^{\alpha \beta} + \varphi_{00}^{\beta \beta} - \varphi_{01}^{\beta \beta} - \varphi_{00}^{\alpha \beta})}{kT} - \right. \\ &\quad \left. - \frac{l_1^{\beta_j \beta} (\varphi_{01}^{\beta \beta} + \varphi_{00}^{\alpha \alpha} - \varphi_{01}^{\alpha \beta} - \varphi_{00}^{\alpha \beta})}{kT} - \frac{l_1^{\beta_j \alpha} (\varphi_{01}^{\beta \alpha} + \varphi_{00}^{\alpha \alpha} - \varphi_{01}^{\alpha \alpha} - \varphi_{00}^{\beta \alpha})}{kT} \right], \end{aligned}$$

где $\theta_{\xi_i} = \xi_i - \xi_0$, ξ_i^v — число ближайших к частице ξ_i , расположенной в узле i , соседей сорта v , находящихся в фазовом состоянии η' . Положим в дальнейшем $\Phi_{01}^{vv} = \Phi_{00}^{vv}$. Тогда

$$\frac{W_{\alpha_i 0}^{\beta_j 0}}{W_{\beta_j 0}^{\alpha_i 0}} = \exp [(l - 1 - l_0^{\alpha_i \alpha} - l_1^{\alpha_i \alpha} - l_0^{\beta_j \beta} - l_1^{\beta_j \beta} (\varphi_{00}^{\alpha \alpha} + \varphi_{00}^{\beta \beta} - 2\varphi_{00}^{\alpha \beta}) / kT]$$

определяется лишь одним энергетическим параметром — теплотой смешения жидкой фазы. Если ближний порядок распределения компонент в расплаве несуществен, частоты диффузионных переходов можно считать не зависящими от числа ближайших соседей и

$$(11) \quad W_{\alpha_i 0}^{\beta_j 0} = W_{\beta_j 0}^{\alpha_i 0} = W_{\beta}^{\alpha}$$

для любой пары i, j жидких узлов. Будем полагать справедливым (11) также в общем случае, опираясь на экспериментальные данные, согласно которым коэффициент диффузии по порядку величины не зависит от типа системы, составляя $\sim 10^{-5}$ см²/с. Можно надеяться, что приближение (11) не повлияет существенным образом и на количественные результаты расчетов. Отношение частот переходов (9) из одной фазы в другую с учетом $\Phi_{01}^{vv} = \Phi_{00}^{vv}$ имеет вид

$$(12) \quad \frac{W_{01}^{\xi_i}}{W_{10}^{\xi_i}} = \exp \left[- \frac{l_1^{\xi_i \alpha} \Phi_{\xi_i \alpha} + l_1^{\xi_i \beta} \Phi_{\xi_i \beta}}{kT} + \theta_{\xi_i} \right],$$

$$\Phi_{\xi v} = \Phi_{00}^{\xi v} - \Phi_{11}^{\xi v}.$$

Как и в [1, 2], для нахождения явного вида $W_{01}^{\xi_i}$, $W_{10}^{\xi_i}$ примем, что энергия активации присоединения жидкой частицы к кристаллу не зависит от локальной конфигурации распределения компонент. Тогда, если сорт присоединяющейся частицы определен,

$$(13) \quad W_{10}^{\alpha} = W_{10}^{\beta} = \omega \exp \left(- \frac{u}{kT} \right) = W_{10}$$

(ω — частотный фактор). Таким образом, соотношения (11) — (13) задают все частотные характеристики элементарных процессов в термодинамически равновесной системе. В дальнейшем предполагается, что эти соотношения сохраняют свой вид и для неравновесных систем.

Уравнение (1) будем решать в двухчастичной аппроксимации функции распределения, которую можно связать с параметрами ближнего порядка. Для этого введем в рассмотрение концентрации твердо-твёрдых $c_{11}^{vv}(i, k)$, твердо-жидких $c_{10}^{vv}(i, k)$ и жидк-жидких $c_{00}^{vv}(i, k)$ связей ближайших соседей в решетке ($v, \gamma = \alpha, \beta$)

$$c_{11}^{vv}(i, k) = \sum_g \eta_i \eta_k \delta_{\xi_i v} \delta_{\xi_k v} \rho(g, t) = \sum_{\eta_i, \xi_i, \eta_k, \xi_k} \eta_i \eta_k \delta_{\xi_i v} \delta_{\xi_k v} \rho^{(2)}(\xi_i, \eta_i; \xi_k, \eta_k; t),$$

$$c_{01}^{vv}(i, k) = \sum_{\eta_i, \xi_i, \eta_k, \xi_k} (1 - \eta_i) \eta_k \delta_{\xi_i v} \delta_{\xi_k v} \rho^{(2)}(\xi_i, \eta_i; \xi_k, \eta_k; t),$$

$$c_{00}^{vv}(i, k) = \sum_{\eta_i, \xi_i, \eta_k, \xi_k} (1 - \eta_i) (1 - \eta_k) \delta_{\xi_i v} \delta_{\xi_k v} \rho^{(2)}(\xi_i, \eta_i; \xi_k, \eta_k; t).$$

Здесь $\rho^{(2)}(\xi_i, \eta_i; \xi_k, \eta_k; t)$ — двухчастичная функция распределения,

$$\sum_{\nu, \eta, \eta'} c_{\eta \eta'}^{\nu \nu} (i, k) = 1.$$

Умножая левую и правую часть уравнения (1) на $\eta_i \eta_k \delta_{\xi_i \nu} \delta_{\xi_k \eta}$ и производя суммирование по всем конфигурациям, получаем

$$(14) \quad \frac{dc_{ii}^{\nu \nu}(i, k)}{dt} = \sum_{\xi_i, \eta_i, \xi_k, \eta_k} \delta_{\xi_i \nu} \delta_{\xi_k \eta} \left\{ \sum_{j \in i} (1 - 2\eta_i) \eta_k W_{1-\eta_i, \eta_i}^{\xi_i} \rho^{(7)}(\xi_i, \eta_i; t) + \right. \\ \left. + \sum_{j \in k} (1 - 2\eta_k) \eta_i W_{1-\eta_k, \eta_k}^{\xi_k} \rho^{(7)}(\xi_k, \eta_k; t) \right\}.$$

Аналогично

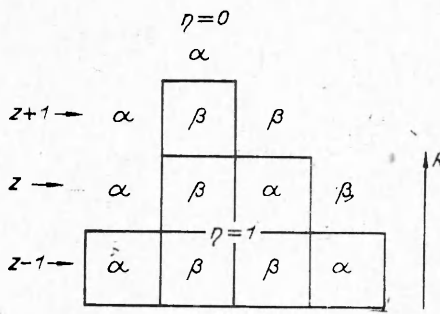
$$\frac{dc_{01}^{\nu \nu}(i, k)}{dt} = \sum_{\xi_i, \eta_i, \xi_k, \eta_k} \delta_{\xi_k \eta} \left\{ \sum_{j \in i} [\delta_{\xi_i \nu} (2\eta_i - 1) \eta_k W_{1-\eta_i, \eta_i}^{\xi_i} \rho^{(7)}(\xi_i, \eta_i; t) + \right. \\ \left. + \delta_{\xi_j \nu} (1 - \eta_j) - \delta_{\xi_i \nu} (1 - \eta_i) \eta_k W_{\xi_j \eta_j}^{\xi_i \eta_i} \rho^{(3)}(\xi_i, \eta_i; \xi_k, \eta_k; \xi_j, \eta_j; t)] + \right. \\ \left. + \sum_{j \in k} \delta_{\xi_i \nu} (1 - \eta_i) (1 - 2\eta_k) W_{1-\eta_k, \eta_k}^{\xi_k} \rho^{(7)}(\xi_k, \eta_k; t) \right\};$$

$$\frac{dc_{00}^{\nu \nu}(i, k)}{dt} = \sum_{\xi_i, \eta_i, \xi_k, \eta_k} \left\{ \sum_{j \in i} \delta_{\xi_i \nu} \delta_{\xi_k \eta} (2\eta_i - 1) (1 - \eta_k) W_{1-\eta_i, \eta_i}^{\xi_i} \rho^{(7)}(\xi_i, \eta_i; t) + \right. \\ \left. + \sum_{j \in k} \delta_{\xi_i \nu} \delta_{\xi_k \eta} (1 - \eta_i) (2\eta_k - 1) W_{1-\eta_k, \eta_k}^{\xi_k} \rho^{(7)}(\xi_k, \eta_k; t) + \right. \\ \left. + \sum_{j \in i, j \neq k} [\delta_{\xi_j \nu} (1 - \eta_j) - \delta_{\xi_i \nu} (1 - \eta_i)] \delta_{\xi_k \eta} (1 - \eta_k) W_{\xi_j \eta_j}^{\xi_i \eta_i} \rho^{(3)} \times \right.$$

$$(16) \quad \times (\xi_i, \eta_i; \xi_k, \eta_k; \xi_j, \eta_j; t) + \sum_{j \in k, j \neq i} [\delta_{\xi_j \nu} (1 - \eta_j) - \delta_{\xi_k \eta} (1 - \eta_k)] \delta_{\xi_i \nu} (1 - \eta_i) W_{\xi_j \eta_j}^{\xi_i \eta_i} \rho^{(3)}(\xi_i, \eta_i; \xi_k, \eta_k; \xi_j, \eta_j; t) + (\delta_{\xi_i \nu} \delta_{\xi_j \eta} - \delta_{\xi_i \nu} \delta_{\xi_k \eta}) (1 - \eta_i) \times \\ \times (1 - \eta_k) W_{\xi_k \eta_k}^{\xi_i \eta_i} \rho^{(2)}(\xi_i, \eta_i; \xi_k, \eta_k; t) \Big\},$$

где $\rho^{(7)}(\xi_i, \eta_i; t)$ — семичастичная функция распределения с центральным узлом i и l ближайшими к нему соседями $j \equiv i$; $\rho^{(3)}(\xi_i, \eta_i; \xi_k, \eta_k; \xi_j, \eta_j; t)$ — трехчастичная функция распределения, причем узел j здесь является ближайшим соседом с узлом i , если $j \neq k$, и с узлом k , если $j \neq i$. Двухчастичную аппроксимацию функций распределения введем в суперпозиционном приближении

$$(17) \quad \rho^{(7)}(\xi_i, \eta_i; t) = \rho^{(i)}(\xi_i, \eta_i; t) \prod_{j=1}^l \frac{\rho^{(2)}(\xi_i, \eta_i; \xi_j, \eta_j; t)}{\rho^{(1)}(\xi_i, \eta_i; t)}, \quad j \equiv i, \\ \rho^{(3)}(\xi_i, \eta_i; \xi_k, \eta_k; \xi_j, \eta_j; t) = \rho^{(2)}(\xi_i, \eta_i; \xi_j, \eta_j; t) \frac{\rho^{(2)}(\xi_i, \eta_i; \xi_k, \eta_k; t)}{\rho^{(1)}(\xi_i, \eta_i; t)}, \quad j \equiv i, \\ \rho^{(3)}(\xi_i, \eta_i; \xi_k, \eta_k; \xi_j, \eta_j; t) = \rho^{(2)}(\xi_k, \eta_k; \xi_j, \eta_j; t) \frac{\rho^{(2)}(\xi_i, \eta_i; \xi_k, \eta_k; t)}{\rho^{(1)}(\xi_k, \eta_k; t)}, \quad j \equiv k.$$



Фиг. 1

Подставляя (17) в (14) — (16) и производя суммирование по всем конфигурациям, получим систему уравнений, описывающих эволюцию параметров ближнего, а следовательно, и параметров дальнего порядка $c_{\eta}^v = \sum_{\eta, \eta'} c_{\eta, \eta'}^{vv}$ со временем.

Для простоты рассмотрим кристаллизацию бинарного сплава в простую кубическую решетку ($l = 6$). Разрез системы кристалл — расплав представлен на фиг. 1 (R — скорость кристаллизации). Разделим

межфазную зону и прилегающий к ней объем твердой и жидкой фаз на атомные слои, параллельные xy -плоскости. Ось z соответствует направлению роста грани (001), а целочисленные координаты вдоль оси z определяют номер слоя. Каждый слой будем характеризовать концентрациями твердо-твердых $c_{11}^{vv}(z)$, твердо-жидких $c_{10}^{vv}(z)$, жидкожидких $c_{00}^{vv}(z)$ связей ближайших соседей всех сортов в xy -плоскости, а также концентрациями твердо-твердых $c_{11}^{vv}(z, z-1)$, твердо-жидких $c_{01}^{vv}(z, z-1)$ и жидкожидких $c_{00}^{vv}(z, z-1)$ связей вдоль направления роста. Полностью жидкой фазе соответствует $z \rightarrow \infty$, полностью твердой — $z \rightarrow -\infty$. Пусть xyz — целочисленные координаты, определяющие положение узла решетки в слое; $\eta_{xyz} = 1$, если в узле с координатами xy слоя z находится твердая, и $\eta_{xyz} = 0$, если в узле — жидккая частица. Ограничимся рассмотрением состояний системы, соответствующих конфигурациям межфазной границы без нависаний. Это означает, что в атомном столбце по направлению скорости роста v лишь один твердый атом имеет под собой соседа, принадлежащего жидкости. С учетом этого

$$(18) \quad W_{10}^{\xi xyz} = W_{10} \eta_{xy, z-1} (1 - \eta_{xyz}).$$

Поскольку диффузия учитывается лишь в расплаве,

$$(19) \quad W_{\xi k}^{\xi i} = (\delta_{\xi i \alpha} \delta_{\xi k \beta} + \delta_{\xi i \beta} \delta_{\xi k \alpha}) (1 - \eta_i) (1 - \eta_k) W_{\beta}^{\alpha}.$$

Таким образом, задача сводится к получению с учетом (14) — (19) системы двадцати восьми конечно-разностных уравнений относительно двадцати четырех концентраций связей ближайших соседей $c_{\eta \eta'}^{vv}(z)$, $c_{\eta \eta'}^{vv}(z, z-1)$ и четырех концентраций частиц $c_{\eta}^v(z)$, из которых лишь четырнадцать являются линейно-независимыми. Выберем в качестве их $c_{11}^{\alpha \alpha}(z, z-1)$, $c_{11}^{\beta \beta}(z, z-1)$, $c_{01}^{\alpha \alpha}(z, z-1)$, $c_{01}^{\alpha \beta}(z, z-1)$, $c_{00}^{\alpha \alpha}(z, z-1)$, $c_{11}^{\alpha \alpha}(z)$, $c_{11}^{\beta \beta}(z)$, $c_{01}^{\alpha \alpha}(z)$, $c_{01}^{\alpha \beta}(z)$, $c_{00}^{\alpha \alpha}(z)$, $c_{00}^{\alpha \beta}(z)$, $c_{00}^{\beta \beta}(z)$, $c_{11}^{\beta \beta}(z)$. Производя усреднение в (9) — (11) в двухчастичной аппроксимации функции распределения, имеем

$$(20) \quad dc_{\eta \eta'}^{vv}(z, z-1)/dt = [c_{01}^{fv}(z+1, z) Q_{vv}(z, z-1) Q_v^4(z) - c_{01}^{vv}(z, z-1)] \delta_{\eta' 1} (\delta_{\eta 0} - \delta_{\eta 1} \delta_{vv}) W_{10}^v - \{c_{01}^{vv}(z, z-1) Q_v(z-1, z-2) Q_v^4 \times (z-1) - c_{00}^{vv}(z, z-1) c_{01}^{vs}(z-1, z-2) [c_0^v(z-1)]^{-1}\} \times \delta_{\eta 0} (\delta_{\eta' 1} - \delta_{\eta' 0} \delta_{vv}) W_{10}^v + \{c_{\eta \eta'}^{vv}(z, z-1) [c_{\eta \eta}^v(z)]^{-1} [c_{\eta \eta}^{vu}(z+1, z) + 2c_{\eta \eta}^{vu}(z)] - c_{\eta \eta'}^{vv}(z, z-1) [c_{\eta \eta}^v(z)]^{-1} [c_{\eta \eta}^{uv}(z+1, z) + 2c_{\eta \eta}^{uv}(z)]\} \delta_{\eta 0} (\delta_{\eta' 0} +$$

$$\begin{aligned}
& + \delta_{\eta'1}) (1 - \delta_{\mu\nu}) W_\beta^\alpha + [c_{\eta\eta'}^{\nu\mu}(z, z-1) [c_{\eta'}^\mu(z-1)]^{-1} [c_{\eta'\eta'}^{\mu\nu}(z-1, z-2) + \\
& + 2c_{\eta'\eta'}^{\mu\nu}(z-1)] - c_{\eta\eta'}^{\nu\nu}(z, z-1) [c_{\eta'}^\nu(z-1)]^{-1} [c_{\eta'\eta'}^{\nu\mu}(z-1, z-2) + \\
& + 2c_{\eta'\eta'}^{\nu\nu}(z-1)]] \delta_{\eta_0} \delta_{\eta'0} (1 - \delta_{\mu\nu}) W_\beta^\alpha; \\
(24) \quad & \frac{dc_{\eta\eta'}^{\nu\nu}(z)}{dt} = \Psi \left[\begin{pmatrix} \nu \\ \eta \end{pmatrix}, \begin{pmatrix} \nu \\ \eta' \end{pmatrix} \right] + \Psi \left[\begin{pmatrix} \nu \\ \eta' \end{pmatrix}, \begin{pmatrix} \nu \\ \eta \end{pmatrix} \right], \Psi \left[\begin{pmatrix} \nu \\ \eta \end{pmatrix}, \begin{pmatrix} \nu \\ \eta' \end{pmatrix} \right] = \\
& = c_{01}^{vS}(z, z-1) [c_0^\nu(z)]^{-1} [c_{01}^{\nu\nu}(z) \delta_{\eta'1} f_1 + c_{00}^{\nu\nu}(z) \delta_{\eta'0} f_2] W_{10}^\nu + \\
& + c_{01}^{fv}(z+1, z) [c_1^\nu(z)]^{-1} Q_\nu(z, z-1) Q_\nu^3(z) [c_{10}^{\nu\nu}(z) \delta_{\eta'0} f_3 + \\
& + c_{11}^{\nu\nu}(z) \delta_{\eta'1} \exp(-\Phi_{\nu\nu}/kT) f_4] W_{10}^\nu + \{c_{\eta'\eta}^{\nu\mu}(z) [4c_\eta^\mu(z)]^{-1} \times \\
& \times [3c_{\eta\eta}^{\nu\mu}(z) + 2c_{\eta\eta}^{\mu\nu}(z, z-1) + 2c_{\eta\eta}^{\nu\mu}(z+1, z)] [2\delta_{\eta'1} + (4 - 3\delta_{\nu\nu}) \delta_{\eta'0}] - \\
& - c_{\eta\eta'}^{\nu\nu}(z) [2c_1^\nu(z)]^{-1} [3c_{\eta\eta}^{\nu\mu}(z) + 2c_{\eta\eta}^{\nu\nu}(z, z-1) + 2c_{\eta\eta}^{\mu\nu}(z+1, z)] \delta_{\eta_0} (\delta_{\eta'0} + \\
& + \delta_{\eta'1})] (1 - \delta_{\mu\nu}) W_\beta^\alpha,
\end{aligned}$$

где

$$\begin{aligned}
f_1 &= \delta_{\eta 1} (2 - \delta_{\nu\nu}) 2^{-1} - \delta_{\eta 0}; \quad f_2 = \delta_{\eta 1} (1 + \delta_{\nu\nu}) - \delta_{\eta 0}; \\
f_3 &= \delta_{\eta 0} (2 - \delta_{\nu\nu}) 2^{-1} - \delta_{\eta 1}; \quad f_4 = \delta_{\eta 0} (1 + \delta_{\nu\nu}) - \delta_{\eta 1}; \\
Q_{\nu\nu}(z, z-1) &= c_{11}^{\nu\nu}(z, z-1) [c_1^\nu(z)]^{-1} \exp(-\Phi_{\nu\nu}/kT + \theta_\nu); \\
Q_\nu(z, z-1) &= Q_{\nu\alpha}(z, z-1) + Q_{\nu\beta}(z, z-1); \\
Q_\nu(z) &= c_{11}^{\nu\nu}(z) [c_1^\nu(z)]^{-1} \exp(-\Phi_{\nu\nu}/kT) + \\
& + c_{11}^{\alpha\beta}(z) [2c_{11}^{\alpha\beta}(z)]^{-1} \exp(-\Phi_{\alpha\beta}/kT) + c_{10}^{\nu f}(z) [2c_1^\nu(z)]^{-1}; \\
c_{0\eta}^{fv} &= c_{0\eta}^{\alpha\nu} + c_{0\eta}^{\beta\nu}; \quad c_{1\eta}^{sv} = c_{1\eta}^{\alpha\nu} + c_{1\eta}^{\beta\nu}.
\end{aligned}$$

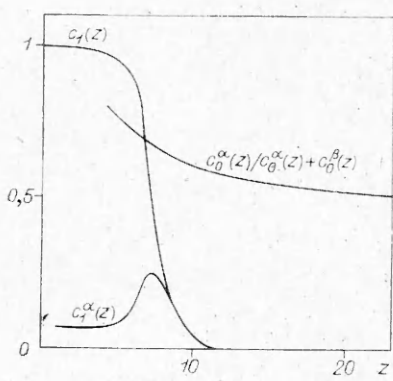
Остальные концентрации находятся из условий баланса

$$\begin{aligned}
c_1^\nu(z) &= c_{01}^{fv}(z+1, z) + c_{11}^{\nu\nu}(z+1, z) + c_{11}^{\nu\nu}(z+1, z) = \\
& = c_{11}^{\nu\alpha}(z, z-1) + c_{11}^{\nu\beta}(z, z-1) = c_{11}^{\nu\nu}(z) + [c_{11}^{\nu\nu}(z) + c_{10}^{\nu f}(z)]/2 \quad (\nu \neq v), \\
(23) \quad c_0^\nu(z) &= c_{00}^{fv}(z+1, z) = c_{00}^{\nu f}(z, z-1) + c_{01}^{\nu\alpha}(z, z-1) + c_{01}^{\nu\beta}(z, z-1) = \\
& = c_{00}^{\nu\nu}(z) + [c_{00}^{\nu\nu}(z) + c_{01}^{\nu\alpha}(z) + c_{01}^{\nu\beta}(z)]/2.
\end{aligned}$$

Скорость движения межфазной границы определим в виде

$$R = \sum_z \sum_v [dc_1^\nu(z)/dt] W_{10}^{-1}.$$

На фиг. 2 дано полное сечение твердой фазы в двухфазной зоне $c_1(z) = c_1^\alpha(z) + c_1^\beta(z)$, распределения концентраций $c_1^\alpha(z)$ и $c_0^\nu(z)/[c_0^\nu(z) + c_0^\beta(z)]$ по атомным слоям для значения концентрации α -компоненты в ядре расплава $c_0^\nu(z)|_{z=\delta} = 0,25$. Толщина диффузационного слоя для рассмотренного модельного примера $\delta = 4$. Отсчитывалась она от атомного слоя, в котором $c_1^\alpha(z) + c_1^\beta(z) = 0$. Результаты получены для бинарной системы эвтектического типа [1, 2] со следующими значениями параметров: $\Phi_{\alpha\alpha} = 300$ кал/моль, $\Phi_{\alpha\beta} = 200$ кал/моль, $\Phi_{\beta\beta} = 1500$ кал/моль, $\theta_\alpha = 1$, $\theta_\beta = 3$, $W_\beta^\alpha = W_{10}$. Результаты указывают на сильную зависимость структуры межфазной зоны, концентрационного градиента в расплаве и скорости кристаллизации от величины коэффициента диффузии W_β^α .



Фиг. 2

Следует отметить интересную особенность динамики структурообразования твердой фазы бинарных систем. На кривой $c_1^\alpha(z)$ (см. фиг. 2) обнаруживается немонотонная зависимость от z , соответствующая тому, что по мере кристаллизации некоторого фиксированного атомного слоя скорость заполнения его α -частицами положительна, пока $c_1^\alpha(z) + c_1^\beta(z) \leq 0,7$, и отрицательна, когда сечение твердой фазы превышает величину 0,7. Эффект немонотонности возрастает по мере увеличения скачка концентраций компонент на кинетической фазовой диаграмме.

В одночастичной аппроксимации функции распределения в качестве искомых функций остаются лишь концентрации компонент $c_n^\nu(z)$, причем $\sum_{n,\nu} c_n^\nu(z) = 1$. В работах [1, 2] показано, что одночастичная аппроксимация может быть использована для регулярных сплавов [3, 4], для которых ближним порядком в твердой фазе можно пренебречь.

Таким образом, система уравнений (20) — (22) дает решение задачи диффузионного погранслоя без дополнительных искусственных предположений о виде граничных условий на межфазной границе, свойственных задаче Стефана. Предложенный подход позволяет не только проанализировать зависимость концентрационных градиентов в расплаве от скорости роста, но и самосогласованным образом описать кинетику формирования структуры кристаллической фазы. Вдали от межфазной границы, где $c_1^\alpha(z) + c_1^\beta(z) = 0$, в одночастичной аппроксимации функции распределения уравнения (20) — (22) аппроксимируют в центральных разностях обычное уравнение диффузии в расплаве

$$\frac{dc_0^\alpha(z)}{dt} = [c_0^\alpha(z+1) + c_0^\alpha(z-1) - 2c_0^\alpha(z)] W_\beta^\alpha.$$

Аналитическое описание, представленное в данной работе, может быть использовано и для случая кристаллизации из растворов. Расчет на ЭВМ проведен Г. Т. Гидрихсоном.

Поступила 27 XII 1977

ЛИТЕРАТУРА

- Черепанова Т. А. Кинетика кристаллизации многокомпонентных сплавов.— «Докл. АН СССР», 1978, т. 283, № 1.
- Черепанова Т. А. Кинетика фазовых превращений бинарный расплав — кристалл.— ПМТФ, 1978, № 5.
- Cherpanova T. A., Shirin A. V., Borisov V. T. Computer simulation of crystal growth from solution.— In: Industrial crystallization. N. Y., Plenum Publishing Comp., 1976, с. 113—121.
- Черепанова Т. А., Ширин А. В., Борисов В. Т. Моделирование роста бинарного кристалла на ЭВМ.— «Кристаллография», 1977, т. 2, с. 260—267.